

八郎湯干拓堤防における液状化被害の要因分析

東北大学工学部 学生員
正会員 **○利波 宗典**
柳沢 栄司

1.はじめに 八郎湯干拓堤防は、過去幾つかの地震によって、緩い砂の液状化によると思われる被害を受けている。古くは青森県西方沖地震(S39)から、先の日本海中部地震(S58)まで、堤体の沈下が主たる被害であったが、各々の地震によって被害のあつた地点が異なっているなど、興味深い点が多い。本論文は、日本海中部地震における資料を基に、統計的手法を用いて、八郎湯干拓堤防(中央干拓堤防)の地震被害の要因分析を試みたものである。

2.地震被害の概要 日本海中部地震は、秋田沖約100 km の所に発生し、規模はマグニチュード7.7で、日本海側で発生した地震としては、最大級のものであった。堤防の被害も、過去の地震によるものの内では、最も甚大であり、ほぼ全国にわたって被災している。特に正面堤防(FD1+500 ~ FD5+100), 西部承水路堤防(WC13+000 ~ WC15+000) では被害が大きく、天端の沈下が、最大 1.8 m にも及んでいる。データポイントとしては、この被害を3ランクに分け、堤防全体に点が平均的に分布するように考え、26地点を選んだ。

3. 解析方法 解析は外的要因及び表1に示す説明変量が、共に、連続量として得られるよう重回帰分析によることとした。

(1)目的変量(外的要因) 堤防の被害を代表する変量として、堤防天端の沈下量をとった。なおこれは、地震の前(S51.7)後(S58.6)の全周測量の結果によっている。

(2)説明変量(説明要因) 堤防の被害に関する限り、物理的に意味がある、データのばらつきが大きい、データが得られやすい、といった観点から選んだ。(表1) なお、砂の液状化には、砂の粒度分布、地下水位、N値などが強く関与しているが堤防周間にわたって地下水位・緩い砂の粒度分布に、あまり差異が認められない事、N値自体を変量とする事の困難性及び、他の変量で代用できる事などから、説明変量として取り入れなかった。以下に、表1における主な変量について説明する。

1. 沼積世上部粘土層の層厚で、主として10~10m 以浅に分布し、一般にN値は0である。

2. 沼積世砂礫層、あるいは沼積世砂層までの深さを仮定。一般にN値は50以上である。

3. 施工計画高をとり、正表面下の影響は無視している。
11~18. SH波の重複反射理論により、5. の仮定地図

表 1. 分析に用いた変量

番号	説明変量
1	軟弱層の厚さ(m) (沼積世上部粘土層 Auc)
2	盛土及び置換砂の厚さ(m)
3	堤防天端から緩い砂の下層までの深さ(m) (昭和51年調査)
4	堤防天端から浸潤面までの深さ(m) (昭和51年調査)
5	地震基盤までの深さ(m) (洪積世砂層 Ds, Dg を仮定)
6	堤防天端高さ(m)
7	堤防敷巾(m)
8	最大加速度振幅(gal) / 伝達関数1次モード周期(sec)
9	最大速度振幅(kine)
10	最大変位振幅(cm) * 伝達関数1次モード周期(sec)
11	伝達関数1次モード周期(sec)
12	伝達関数1次モード倍率
13	伝達関数2次モード周期(sec)
14	伝達関数2次モード倍率
15	伝達関数3次モード周期(sec)
16	伝達関数3次モード倍率
17	伝達関数4次モード周期(sec)
18	伝達関数4次モード倍率

表 2. 目的変量(天端沈下量)との相関

番号	目的変量との相関係数	目的変量との偏相関係数
1	0.46752	-0.18555
2	0.53694	0.48705
3	0.37368	-0.18992
4	0.50087	0.35057
5	0.34634	0.60604
6	0.44102	-0.33886
7	0.38376	-0.19395
8	-0.38953	-0.35020
9	0.52387	-0.66404
10	0.55388	0.62190
11	0.55686	-0.60077
12	0.48422	0.78955
13	0.55156	0.06578
14	-0.06306	0.06906
15	0.57389	0.08904
16	-0.00705	0.57262
17	0.58985	0.23027
18	-0.16936	-0.48366

基盤と地表との増加度スペクトルを求めた。

8~10. FD7+426地点で観測された加速度波形を基に仮定地震基盤での入力波形を推定し、これと先の伝達関数により、各地点での相速度・速度・変位最大振幅を推定した。8.で伝達関数1次モード周期で割り9.でかけているのは地震の卓越周期が長くなるにつれ変位量は増加するが加速度量は減少するという常識に照らして、妥当性があると考えたためである。以上、表1に示した各量を、計26地点について求め、重回帰分析を行った。

4. 解析結果と考察 各説明変量と天端沈下量との相関係数・偏相関係数を表2に示す。又、参考のため軟弱層厚と天端沈下量との相關図を図1に示す。図1は各々の変量をデータの最大値で割って規格化している。同時に表3に示す重回帰式を描いてある。表2でとびぬけて目的変量との相関が強いものはないが、最大変位振幅×伝達関数1次モード周期、盛土・置換砂厚さとは比較的正の相関があり、天端沈下が緩い砂の液状化によつて生じたという立場からは妥当性がある。又、伝達関数の各モード周期と正の相関が見られる事も、地震波の卓越周期が比較的長かったため、地盤の卓越周期が長い程、共振によつて変位量が大きくなり被害も大きくなつたと推定される。軟弱層厚とは、相関係数を見る限りでは弱い正の相関しか無いが、図1に見られる通り、正面堤防以外では強い正の相関がある様で興味深い。以上を考慮に入れて、重相関係数が大きくなる様に、かつ分散比が大きくなる様に変量の組み合わせを変えて分析を行つた。その最終結果を表3に示す。ここで、正規化された回帰係数とは各変量を正規化した場合の回帰係数。t検定は、変量の有意性の検定で＊が5%，＊＊が1%有意を示している。又、F値は変量の寄与率である。この回帰式の重相関係数は0.8678と比較的大きな値を示し、分散比も1%有意とその有意性を示している。これによれば、堤防敷巾の影響が直の方向に極めて大きく、堤防の抜きには液状化防止に効果があると思われる。又、堤防天端から浸潤面までの砂層厚は、前述の様に地下水位に差異が無ければ堤防の高さと考える事ができ、これが直の方向に寄与が大きいといふ事は、地震動に対する不安定性を示していると言えられる。

5. あとがき 本研究の本旨は、過去に八郎潟干拓堤防が影響を受けた各々の地震によって、被害を被つた地点が異なる現象を説明できる様な要因を、探し出す事にある。今回、日本海中部地震のデータを基に重回帰分析を行なう目的もそこにあり、他の地震、例えば新潟地震、十勝沖地震などのデータを今回得られた回帰式に用いて、それらの被害を特徴づけらるかといつた狙いがある。今後、以上の方針に沿つて研究を進めようつもりである。

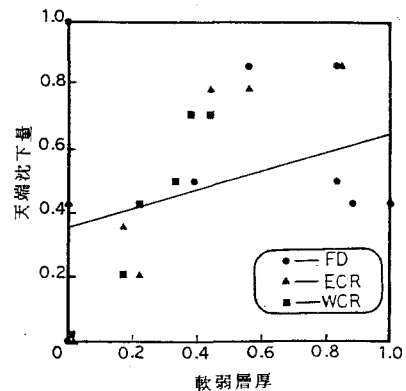


図 1. 相関図(天端沈下量-軟弱層の厚さ)

表 3. 重回帰分析の結果

説明変量 X_i	偏回帰係数	正規化された回帰係数	t 検定	F 値
1. 軟弱層の厚さ	0.2123E-01	0.2658		1.4691
2. 盛土及び置換砂の厚さ	0.2128E-01	0.1795		0.4054
4. 堤防天端から浸潤面までの砂層厚	0.2555	0.8475	*	6.9336
5. 地震基盤の深さ	0.2086E-01	0.5977	**	8.8718
7. 堤防敷巾	-0.1831E-04	-1.2744	**	12.8040
10. 地震最大変位振幅 * 伝達関数 1 次モード周期	0.1804E-04	0.0280		0.1575E-03
12. 伝達関数 1 次モード倍率	0.7882E-01	0.7735	**	8.7455
定数項	-1.7536			

重相関係数 0.8678

分散比 7.8389 1% 有意

寄与率 0.7535

参考文献

八郎潟干拓堤防災害復旧施工・技術検討報告書（秋田県 1984）